



INFORMATICA CUANTICĂ

Acad. AŞM, Profesor univ. Sidorenko Anatolie

Institutul de Inginerie Electronica
și Nanotehnologii al UTM

E-mail: sidorenko.anatoli@gmail.com

anatolie.sidorenko@mib.utm.md

Tel./viber +37369513294

Тема 6. Квантовые алгоритмы

6.1. Квантовые алгоритмы факторизации чисел и поиска в базе данных

К настоящему времени открыты и подробно исследованы три класса квантовых алгоритмов:

- 1) алгоритмы с квантовыми скрытыми подгруппами преобразований абелевых групп (к ним относится алгоритм Шора факторизации чисел);
- 2) алгоритмы с усилением амплитуд (их представителем является алгоритм Гровера поиска

объекта в неструктурированной базе данных);

- 3) алгоритмы для моделирования квантовых систем на квантовом компьютере.

Алгоритмы классов 1) и 3) предусматривают применение дискретного Фурье-преобразования. При выполнении Фурье-преобразования на классическом компьютере требуется экспоненциально большое число операций. На квантовом компьютере Фурье-преобразование выполняется

за полиномиальное число (n^2) операций, поэтому квантовые алгоритмы классов 1) и 3) демонстрируют экспоненциальное ускорение решения задачи по сравнению с алгоритмами, выполняемыми на классических компьютерах.

Тема 6. Квантовые алгоритмы

6.1. Квантовые алгоритмы факторизации чисел и поиска в базе данных

Принцип алгоритма Гровера

— это алгоритм усиления амплитуды состояния, соответствующего искомому объекту. Пусть целое число X_s является индексом искомого объекта.

Поставим ему в соответствие базисное состояние $|X_s\rangle$ в векторе состояния $|\psi\rangle = \sum_x c_x |x\rangle$ квантового регистра. Итерационный процесс при выполнении алгоритма Гровера построен так, что интерференция амплитуд увеличивает амплитуду C_{xs} ; остальные амплитуды $c_x \neq c_{x_s}$ уменьшаются. После \sqrt{N} итераций (N — число объектов в базе данных) амплитуда c_{x_s} достигает значения $|c_{x_s}| \leq 1$.

Измерение состояния регистра после \sqrt{N} итераций с вероятностью $|c_{x_s}| \simeq 1$ определяет индекс X_s искомого объекта. Поиск объекта в классическом случае требует N операций (перебор всех объектов). Таким образом, в квантовом алгоритме Гровера достигается квадратичное ускорение решения задачи поиска по сравнению с поиском на классическом компьютере.

Чем больше будет найдено эффективных квантовых алгоритмов, тем больше будет стимулов к реализации идеи квантовых компьютеров и квантовой информатики.

Тема 6. Квантовые алгоритмы

6.2. Алгоритм телепортации неизвестного квантового состояния

Поучительным примером малоразмерного алгоритма является протокол квантовой телепортации неизвестного квантового состояния. Схема протокола телепортации представлена на рис. 9. В начальный момент три участвующих в протоколе кубита находятся в точке *A*, их состояние не запутано:

$$|\psi_{in}\rangle = |a_1\rangle|0_2\rangle|0_3\rangle$$

Здесь $|a_1\rangle = \alpha|0_1\rangle + \beta|1_1\rangle$ – неизвестное состояние кубита 1. Именно оно должно быть телепортировано в точку пространства *B*. События, происходящие в точках *A* и *B*, заключены на рис. 9 в соответствующие рамки:

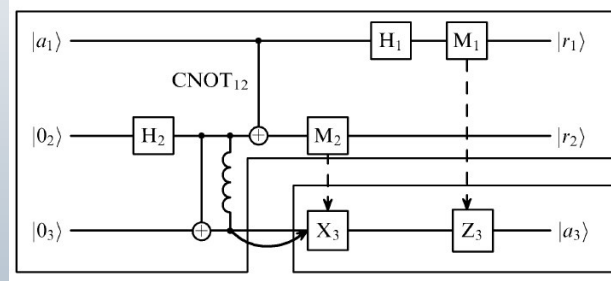


Рис. 9. Схема протокола телепортации неизвестного состояния $|a_1\rangle$ из точки *A* в точку *B*. В процессе телепортации создается запутанность, которая затем уничтожается в ходе измерений состояния кубитов. Кроме того, один из кубитов запутанной пары транспортируется из точки *A* в точку *B*.

Тема 6. Квантовые алгоритмы

В первой операции создается запутанность кубитов 2 и 3. Операция выполняется в два этапа: над состоянием кубита 2 выполняется преобразование Адамара H , затем — CNOT

$$|0_2\rangle|0_3\rangle \xrightarrow{H_2} \frac{1}{\sqrt{2}}(|0_2\rangle + |1_2\rangle)|0_3\rangle \xrightarrow{\text{CNOT}_{23}} \frac{1}{\sqrt{2}}(|0_20_3\rangle + |1_21_3\rangle). \quad (59)$$

Запутанность кубитов 2 и 3 показана на схеме спиральной связью между линиями эволюции во времени. После генерации запутанности кубитов 2 и 3 кубит 3 транспортируется в точку B , удаленное от точки A на сколь угодно большое расстояние.

Дальнейшие операции локального типа (LOCC) совершаются над кубитами 1 и 2 в точке A , над кубитом 3 — в точке B . Штриховыми линиями показана передача в точку B классической информации о результате измерения состояния кубита в точке A . Эта информация используется для выполнения операций (X_3 или Z_3) над кубитом 3 в точке B .

Во второй операции запутанность кубитов 2 и 3 преобразуется в запутанность кубитов 1 и 3 с участием всех трех кубитов:

$$\begin{aligned} & \frac{1}{\sqrt{2}}(\alpha|0_1\rangle + \beta|1_1\rangle)(|0_20_3\rangle + |1_21_3\rangle) \xrightarrow{\text{CNOT}_{12}} (\alpha|0_10_20_3\rangle + \alpha|0_11_21_3\rangle + \beta|1_11_20_3\rangle + \\ & \beta|1_10_21_3\rangle) \xrightarrow{M_2(|0_2\rangle)} (\alpha|0_10_3\rangle + \beta|1_11_3\rangle)|0_2\rangle. \end{aligned} \quad (60)$$

Тема 6. Квантовые алгоритмы

6.2. Алгоритм телепортации неизвестного квантового состояния

. Конечным состоянием трех кубитов будет

$$|\psi_f\rangle = (\alpha|0_3\rangle + \beta|1_3\rangle)|r_1\rangle|r_2\rangle. \quad (62)$$

Каков результат всех операций? Неизвестное состояние $|a_1\rangle = \alpha|0_1\rangle + \beta|1_1\rangle$ принадлежавшее вначале кубиту 1 в точке A , теперь принадлежит кубиту 3 в точке B — телепортация неизвестного состояния свершилась. Кубит 1 лишился состояния $|a_1\rangle$: сохранение его у кубита 1 означало бы клонирование неизвестного состояния, что запрещено no-cloning-теоремой. Конечное состояние трех кубитов не запутано. Запутанность, созданная в начале операции, израсходована на выполнение телепортации. Из формулы (62) следует, что **запутанность есть расходуемый ресурс квантовой информатики !**

"Чудом" здесь является телепортация именно неизвестного квантового состояния.

Тема 6. Квантовые алгоритмы

6.3. Моделирование квантовых систем на квантовом компьютере

Рассмотрим задачу о моделировании на квантовом компьютере квантовой системы, заданной гамильтонианом

$$H = \frac{p^2}{2m} + V(x).$$

Статическая задача заключается в определении собственных значений E энергии и собственных функций $|u\rangle$ системы согласно уравнению:

$$H|u\rangle = E|u\rangle.$$

Динамическая задача заключается в изучении динамики системы согласно уравнению Шрёдингера

$$i\frac{\partial}{\partial t}|\psi\rangle = H|\psi\rangle$$

(постоянная \hbar включена в гамильтониан H). Используя оператор эволюции и $U(t) = \exp(-iHt)$, уравнение динамики можно свести к преобразованию вектора состояния системы:

$$|\psi(x, t)\rangle = U(t)|\psi(x, 0)\rangle. \quad (63)$$